



Investigation of Biochar Application Effect on Photosynthetic Pigments, Enzymes Activity and Yield of Safflower (*Carthamus tinctorius* L.) under Water Stress

Marzieh Ghaedi¹, Ehsan Bijanzadeh^{2*}, Mahdi Najafi Ghiri⁴, Ali Behpouri³ and Vahid Barati³

1, 2 and 3- M.Sc. Student, Associate Professor and Assistant Professor, Agroecology Department, College of Agriculture and Natural Resources of Darab, Shiraz University, Iran, respectively.

4- Associate Professor, Soil Science Department, College of Agriculture and Natural Resources of Darab, Shiraz University, Iran.

(*- Corresponding author's Email: bijanzd@shirazu.ac.ir)

How to cite this article:

Received: 23-12-2022

Revised: 26-02-2023

Accepted: 18-04-2023

Available Online: 18-04-2023

Ghaedi, M., Bijanzadeh, E., Najafi Ghiri, M., Behpouri, A., & Barati, V. (2024). Investigation of biochar application effect on photosynthetic pigments, enzymes activity and yield of safflower under water stress. *Journal of Agroecology*, 16(2), 265-286. (In Persian with English abstract).
<https://doi.org/10.22067/agry.2023.79904.1134>

Introduction

Water stress is one of the main factors in crop growth in arid and semi-arid regions of the world, which limits the grain yield of the safflower (*Carthamus tinctorius* L.). To increase the soil fertility and yield of crops, it is necessary to pay sufficient attention to the use of biomass of organic matter, especially crop residues, and its conversion to biochar. This research aims to evaluate the biochar application produced from cotton and wheat residues under late-season water stress in the south of Fars province (Darab) on photosynthetic pigments, enzyme activity, yield components, and yield of safflower.

Materials and Methods

In order to investigate the biochar application and water stress on the amount of photosynthetic pigments, enzyme activity, and yield of safflower, a field experiment was laid out as split plots in the form of randomized complete block design with 3 replications in the 2019-2020 growing season. The experimental factors include the irrigation regime as the main factor in two levels (optimal irrigation and cutting off irrigation after the flowering stage), and the secondary factors were fertilizer treatment as subplot including control (without fertilizer), consumption of 3 tons of biochar from wheat residues per hectare, consumption of 3 tons of biochar from cotton residues per hectare, consumption of 150 kg of urea per hectare + 50 kg of triple superphosphate per hectare, consumption of 112.5 kg of urea per hectare + 37.5 kg of triple superphosphate per hectare, consumption of 112.5 kg of urea + 37.5 kg of triple superphosphate + 3 tons wheat biomass per hectare, and 112.5 kg of urea + 37.5 kg of triple superphosphate + 3 tons of cotton biomass per hectare. In this research, chlorophyll a and b, total chlorophyll, catalase, and peroxidase activities, yield components, and yield of safflower were calculated.



©2023 The author(s). This is an open access article distributed under [Creative Commons Attribution 4.0 International License \(CC BY 4.0\)](https://creativecommons.org/licenses/by/4.0/), which permits use, sharing, adaptation, distribution and reproduction in any medium or format, as long as you give appropriate credit to the original author(s) and the source.

Results and Discussion

The results of the experiment showed that the measured traits were significantly affected by the irrigation regime and fertilizer treatment. Under cutting-off irrigation after the flowering stage, the fertilizer treatment of 112.5 urea + 37.5 phosphate + 3 tons of wheat biochar per hectare increased 55 and 40% chlorophyll a and total chlorophyll compared to the control, respectively. Water stress increased the carotenoid content, catalase, and peroxidase enzymes. The highest amount of catalase and peroxidase enzyme activity was obtained in the control under cutting-off irrigation after the flowering stage, which increased by 48 and 38%, respectively, compared to the control under optimal irrigation. The number of seeds per capitule and the number of fertile capitules per plant in the treatment of 112.5 urea + 37.5 phosphate + 3 tons of cotton biochar under water stress conditions increased by 8.8 and 19.51%, respectively. Also, under water stress, the application of 112.5 urea + 37.5 phosphates + 3 tons of cotton biochar improved and increased the relative content of leaf water, biological capitules yield, and grain yield compared to the control by %53, %22, and %34, compared to control, respectively.

Conclusion

Results showed that in both of the irrigation regimes, application of 3 tons of cotton or wheat biochar alone can increase the biomass and grain yield compared to control. Overall, the application of 112.5 urea + 37.5 phosphate + 3 tons of cotton biochar under water stress conditions improved the relative water content of the leaves, the number of seeds per capitule, the number of fertile capitule per plant, and finally, biomass and yield of safflower. With respect to water shortage under late season in southern parts of Fars province, and in order to decrease the detrimental effects of water stress, farmers can use the biochar of cotton combined with reduced dosage of urea and triple superphosphate fertilizers.

Keywords: Catalase, Chlorophyll, Cutting off irrigation, Number of seed per capitule, Peroxidase

مقاله پژوهشی

جلد ۱۶، شماره ۲، تابستان ۱۴۰۳، ص ۲۸۶-۲۶۵

بررسی اثر مصرف زغال زیستی روی رنگیزه‌های فتوسنتزی، فعالیت آنزیمی و عملکرد گلرنگ (*Carthamus tinctorius* L.) در شرایط تنش آبی

مرضیه فاندی^۱، احسان بیژن‌زاده^{۲*}، مهدی نجفی قیری^۳، علی بهپوری^۳ و وحید براتی^۳

تاریخ دریافت: ۱۴۰۱/۱۰/۰۲

تاریخ بازنگری: ۱۴۰۱/۱۲/۰۷

تاریخ پذیرش: ۱۴۰۲/۰۱/۲۹

چکیده

به‌منظور بررسی مصرف زغال زیستی و تنش آبی بر ویژگی‌های بیوشیمیایی و عملکرد گلرنگ (*Carthamus tinctorius* L.) پژوهشی به صورت کرت‌های خرد شده در قالب طرح بلوک‌های کامل تصادفی با سه تکرار در دانشگاه شیراز در فصل رشد ۹۹-۱۳۹۸ اجرا شد. فاکتورهای آزمایش شامل رژیم آبیاری (آبیاری مطلوب و قطع آبیاری پس از گل‌دهی) و تیمار کودی شامل شاهد بدون کود، مصرف سه تن زغال زیستی گندم و یا پنبه در هکتار، ۱۵۰ کیلوگرم اوره + ۵۰ کیلوگرم سوپرفسفات تریپل در هکتار، ۱۱۲/۵ کیلوگرم اوره + ۳۷/۵ کیلوگرم سوپرفسفات تریپل در هکتار و ۱۱۲/۵ کیلوگرم اوره + ۳۷/۵ کیلوگرم سوپرفسفات تریپل + سه تن زغال زیستی گندم و یا پنبه در هکتار بودند. در شرایط قطع آبیاری مصرف ۱۱۲/۵ کیلوگرم اوره + ۳۷/۵ کیلوگرم سوپرفسفات تریپل + سه تن زغال زیستی گندم در هکتار به‌ترتیب میزان کلروفیل a و کل را ۵۵ و ۴۰ درصد، نسبت به شاهد افزایش دادند. بالاترین میزان فعالیت آنزیم کاتالاز و پراکسیداز در تیمار قطع آبیاری در گل‌دهی به‌دست آمد. همچنین، در شرایط تنش آبی کاربرد ۱۱۲/۵ کیلوگرم اوره + ۳۷/۵ کیلوگرم سوپرفسفات تریپل + سه تن زغال زیستی پنبه، سبب افزایش محتوای نسبی آب برگ، عملکرد زیست‌توده و دانه به‌ترتیب به‌میزان ۵۳/۰۳، ۲۲/۰۵ و ۳۴/۷ درصد گردید. به‌طور کلی، کاربرد ۱۱۲/۵ کیلوگرم اوره + ۳۷/۵ کیلوگرم سوپرفسفات تریپل + سه تن زغال زیستی پنبه در هکتار، در شرایط تنش آبی باعث بهبود محتوای نسبی آب برگ، تعداد دانه در طبق، تعداد طبق بارور در بوته و در نهایت، عملکرد دانه گلرنگ شد.

واژه‌های کلیدی: پراکسیداز، تعداد دانه در طبق، قطع آبیاری، کاتالاز، کلروفیل

مقدمه

است تلاش‌های فراوانی جهت افزایش عملکرد دانه‌های روغنی به‌ویژه در شرایط تنش آبی صورت گیرد (Asghari et al., 2016). گلرنگ (*Carthamus tinctorius* L.) یکی از قدیمی‌ترین گیاهان زراعی است که با هدف تولید روغن کشت می‌شود و به‌دلیل داشتن سیستم ریشه‌ای متراکم و عمیق و خاصیت خشکی‌پسندی، کارایی بالایی در استفاده از رطوبت خاک دارد (Das et al., 2017). علاوه‌بر تولید دانه با هدف استخراج روغن خوراکی، در برخی کشورها از جمله هند و چین این گیاه به‌خاطر گل‌های آن در طعم و رنگ دادن به غذاها و تهیه رنگ پارچه کاربرد دارد و همچنین، به‌دلیل کاربردهای دارویی مختلف کشت می‌گردد (Asqarpanh et al., 201).

تنش آبی در بین تنش‌های غیرزنده، از لحاظ طول دوره، شدت،

علی‌رغم مشکلات موجود در صنعت روغن‌های نباتی در داخل کشور و اینکه بیش از ۹۳ درصد از نیاز مصرفی به روغن به شکل روغن خام و دانه‌های روغنی توسط واردات تأمین می‌گردد، ضروری

۱، ۲ و ۳- به‌ترتیب، دانشجوی کارشناسی ارشد، دانشیار واستادیار، بخش اگر واکولوژی، دانشکده کشاورزی و منابع طبیعی داراب، دانشگاه شیراز، ایران.

۴- دانشیار بخش علوم خاک، دانشکده کشاورزی و منابع طبیعی داراب، دانشگاه شیراز، ایران.

* نویسنده مسئول:

(Email: bijanzd@shirazu.ac.ir)<https://doi.org/10.22067/agry.2023.79904.1134>

وقوع و زمان آن غیرقابل پیش‌بینی است و با محدود کردن تولید محصول در ۲۵ درصد از زمین‌های کشاورزی جهان، شایع‌ترین تنش غیرزیستی در گیاه بوده و عامل اصلی کاهش عملکرد در گیاهان زراعی می‌باشد (Chang et al., 2013). مطالعات انجام شده در این زمینه نشان می‌دهد، گیاه گلرنگ در مراحل مختلف رشد مانند مرحله جوانه‌زنی، رویشی، گل‌دهی و پراکنش دانه به تنش آبی حساس است و تنش آبی بر خصوصیات مورفولوژیک و فیزیولوژیک گلرنگ تأثیر منفی گذاشته و عملکرد روغن و دانه را به‌طور معنی‌داری کاهش می‌دهد (Hussain et al., 2016). تنش آبی موجب کاهش معنی‌داری در تعداد طبق در بوته، تعداد دانه در طبق، ارتفاع بوته، وزن هزار دانه، درصد روغن و عملکرد دانه خواهد شد (Kafi et al., 2007) و با توجه به اینکه عملکرد دانه نیز تحت تأثیر این اجزا می‌باشد، در نتیجه کاهش در اجزای عملکرد موجب پایین آمدن عملکرد دانه و به دنبال آن کاهش عملکرد در واحد سطح می‌شود (Noroozi et al., 2012).

تکنولوژی کربونیزاسیون در سال‌های گذشته به‌عنوان یک روش کارآمد برای کاهش گازهای گلخانه‌ای و ترسیب کربن اتمسفر به‌شمار می‌رود. کربونیزاسیون زیست‌توده براساس میزان و مدت زمان حرارت‌دهی شامل مراحل متفاوتی می‌باشد که روش گرماکافت آهسته، معمول‌ترین روشی است که در دنیا در حال گسترش می‌باشد (Manya, 2012; Berek et al., 2011). در طی روش گرماکافت، مواد آلی در شرایط اکسیژن محدود و یا بدون اکسیژن، در دمای بیش از ۴۰۰ درجه سلسیوس حرارت داده شده و به ماده جامد سیاه‌رنگ غنی از کربن به‌نام زغال زیستی (بیوپچار) تبدیل می‌شود. به‌طور تقریبی کلیه ترکیب‌ها و پس‌مانده‌های آلی از جمله شاخ و برگ درختان، بقایای گیاهان زراعی (کاه و کلس، بقایای بادام زمینی (*Arachis hypogaea*)، پوشال برنج (*Oryza sativa*) و غیره، مواد چوبی، انواع کودهای آلی (مرغی، دامی و غیره)، اجساد و لاشه حیوانات، لجن فاضلاب و پس‌مانده‌های آلی صنعتی و شهری قابلیت تبدیل شدن به زغال زیستی را دارند (Sohi et al., 2010; Lehmann et al., 2011). تبدیل زیست‌توده به زغال‌زیستی و افزودن آن به خاک‌های کشاورزی می‌تواند از طریق تثبیت کربن باروری خاک را بهبود دهد. گزارش شده است که با مصرف زغال‌زیستی به علت افزایش ظرفیت تبادل کاتیونی، افزایش درصد اشباع بازی خاک، و افزایش آب قابل دسترس گیاه، عملکرد ذرت از ۱۷ به

۲۱ تن در هکتار افزایش یافت (Cornelissen et al., 2013). کاربرد هم‌زمان زغال زیستی و کودهای شیمیایی می‌تواند کارایی مصرف آن‌ها را افزایش دهد (Sohi et al., 2010). در پژوهشی پنگ و همکاران (Peng et al., 2021) نشان دادند که کاربرد هم‌زمان کودهای نیتروژن، فسفر و پتاسیم با زغال زیستی با مقادیر ۱/۵، ۳ و ۶ تن در هکتار کارایی مصرف نیتروژن و عملکرد ذرت را افزایش و هدرروی نیتروژن را کاهش داد.

به‌دلیل مصرف بی‌رویه کودهای شیمیایی آسیب‌های مستقیم و غیرمستقیمی به گیاهان، حیوانات و ریزجانداران وارد شده است. همچنین، با توجه به اینکه ایران جزو مناطق خشک و نیمه‌خشک جهان بوده و شهرستان داراب دارای آب‌وهوای نیمه‌گرمسیری (با میانگین بارندگی ۲۵۰ میلی‌متر در سال) می‌باشد، بنابراین جهت افزایش میزان بهره‌برداری از امکانات محیطی به‌منظور بالابردن میزان عملکرد محصولات زراعی، توجه به استفاده بهینه از زیست‌توده مواد آلی به‌ویژه بقایا و پس‌مانده‌های کشاورزی و تبدیل آن به زغال‌زیستی و افزودن آن به خاک، ضروری می‌باشد. این پژوهش با هدف ارزیابی و مصرف زغال‌زیستی تولید شده از بقایای پنبه و گندم در مناطق گرم و نیمه‌خشک جنوب استان فارس (داراب) با توجه به کمبود آب آخر فصل رشد و تأثیر این دو عامل بر رنگیزه‌های فتوسنتزی، فعالیت آنزیمی، اجزای عملکرد و عملکرد گلرنگ در شرایط تنش آبی اجرا گردید.

مواد و روش‌ها

به‌منظور بررسی تأثیر تنش آبی و مصرف زغال زیستی بر میزان رنگیزه‌های فتوسنتزی، فعالیت آنزیمی، اجزای عملکرد و عملکرد گلرنگ، آزمایشی به‌صورت اسپلینت در قالب طرح بلوک‌های کامل تصادفی با سه تکرار در مزرعه تحقیقاتی دانشکده کشاورزی و منابع طبیعی داراب، واقع در هفت کیلومتری شهرستان داراب با طول جغرافیایی ۵۴ درجه و ۲۶ دقیقه و عرض جغرافیایی ۲۸ درجه و ۴۵ دقیقه و ارتفاع ۱۱۰۹ متر از سطح دریا و در سال زراعی ۹۹-۱۳۹۸ اجرا شد. در شروع پژوهش و پیش از کاشت، جهت تعیین خصوصیات فیزیکی و شیمیایی خاک، از خاک محل آزمایش در دو عمق ۰ تا ۱۵ و ۱۵ تا ۳۰ سانتی‌متری نمونه‌برداری صورت گرفت (جدول ۱).

جدول ۱- خصوصیات فیزیکی و شیمیایی خاک مورد آزمایش
Table 1- Physical and chemical properties of the experimental soil

عمق Depth (cm)	شن Sand (%)	رس Clay (%)	سیلت Silt (%)	قابلیت هدایت الکتریکی EC (dS.m ⁻¹)	فسفر P (mg kg ⁻¹)
0-15	38.96	19.4	41.64	0.336	22
15-30	40.96	17.4	41.64	0.739	26
عمق Depth (cm)	پتاسیم K (mg.kg ⁻¹)	آهن Fe (mg kg ⁻¹)	مس Cu (mg.kg ⁻¹)	روی Zn (mg.kg ⁻¹)	منگنز Mn (mg.kg ⁻¹)
0-15	165.04	0.67	3.05	1.01	7.48
15-30	156.69	1.23	0.46	0.53	0.64

فاصله بین کرت‌ها یک متر در نظر گرفته شد. برای کنترل علف‌های هرز در طول فصل رشد، عملیات وجین دستی انجام گرفت. کاشت به روش خشکه کاری و با دست انجام گرفت. لازم به ذکر است که مصرف سه تن زغال زیستی گندم یا پنبه در هکتار برای هر کرت شش مترمربعی، ۱/۸ کیلوگرم بوده و میزان مصرف اوره برای تیمار ۱۵۰ کیلوگرم در هکتار برای هر کرت شش مترمربعی، ۹۰ گرم در هر کرت (در سه مرحله شش برگه، هشت برگه و غنچه‌دهی) بود که در هر مرحله ۳۰ گرم استفاده شد و ۱۵۰ کیلوگرم اوره در هکتار معادل ۷۵ کیلوگرم نیتروژن در نظر گرفته شد. در ضمن، میزان مصرف اوره برای ۱۱۲/۵ کیلوگرم در هکتار برای کرت شش مترمربعی، ۶۷ گرم در هر کرت (در سه مرحله شش برگه، هشت برگه و غنچه‌دهی) و در هر مرحله ۲۲/۳ گرم بوده که ۱۱۲/۵ کیلوگرم اوره معادل ۵۶ کیلوگرم نیتروژن می‌باشد. همچنین در تیمار مصرف ۵۰ کیلوگرم سوپر فسفات تریپل در هکتار برای هر کرت شش مترمربعی، ۳۰ گرم در هر کرت (قبل از کاشت) در نظر گرفته شد. مصرف ۳۷/۵ کیلوگرم سوپر فسفات تریپل در هکتار برای کرت شش مترمربعی، ۲۲/۵ گرم در هر کرت (قبل از کاشت) می‌باشد. محاسبه میزان آب مورد نیاز برای هر کرت براساس ظرفیت زراعی خاک مزرعه (۲۴/۵ درصد وزنی) در نظر گرفته شد. در این روش، ابتدا قطعه زمینی به مساحت دو مترمربع مشخص و به شکل حوضچه درآمد و روی آن با پلاستیک پوشانده شد و سپس، به طور سنگین آبیاری گردید. بعد از قطع آبیاری و فروکش کردن آب، هر ۱۲ ساعت یک بار از عمق صفر تا یک متری توسعه ریشه نمونه برداری انجام شد و میزان رطوبت آن به روش وزنی اندازه‌گیری گردید. این کار تا زمانی ادامه داده شد، تا سرانجام میزان رطوبت در دو اندازه‌گیری پشت سر هم تقریباً با هم برابر شدند که براساس معادله زیر این میزان رطوبت برابر با رطوبت ظرفیت زراعی

نمونه خاک پس از انتقال به آزمایشگاه هواخشک شد و پس از عبور از الک دو میلی‌متری، ویژگی‌های مختلف خاک شامل قابلیت هدایت الکتریکی در عصاره اشباع (EC) (Rhoades, 1996)، فسفر به روش بی‌کربنات سدیم (Olsen, 1954)، پتاسیم با عصاره‌گیر استات آمونیوم یک میلی‌مولار خنثی (Helmke et al., 1996)، منگنز، آهن، روی و مس قابل استفاده با عصاره‌گیری خاک به وسیله دی تی پی ای (Lindsay & Norvell, 1978)، و درصد رس، سیلت و شن (بافت خاک) به روش هیدرومتر (Gee & Or, 2002) اندازه‌گیری شدند. پس از عملیات تهیه بستر کاشت، اقدام به کرت بندی در ابعاد (۳ × ۲ مترمربع) شد. فاکتورهای مطالعاتی شامل رژیم آبیاری به عنوان فاکتور اصلی در دو سطح آبیاری مطلوب و قطع آبیاری پس از مرحله گل‌دهی (مرحله ۶۵ مطابق با کدبندی فلمر) (Flemmer et al., 2015) و فاکتور فرعی تیمار کودی شامل شاهد بدون کود، مصرف سه تن زغال زیستی بقایای گندم در هکتار، مصرف سه تن زغال زیستی بقایای پنبه در هکتار، مصرف ۱۵۰ کیلوگرم اوره در هکتار + ۵۰ کیلوگرم سوپر فسفات تریپل در هکتار، مصرف ۱۱۲/۵ کیلوگرم اوره در هکتار + ۳۷/۵ کیلوگرم سوپر فسفات تریپل در هکتار، مصرف ۱۱۲/۵ کیلوگرم اوره در هکتار + ۳۷/۵ کیلوگرم سوپر فسفات تریپل در هکتار، مصرف ۱۱۲/۵ کیلوگرم اوره در هکتار + سه تن زغال زیستی گندم در هکتار، مصرف ۱۱۲/۵ کیلوگرم اوره در هکتار + ۳۷/۵ کیلوگرم سوپر فسفات تریپل در هکتار + سه تن زغال زیستی پنبه در هکتار بودند. در این آزمایش، بذر گلرنگ رقم گلدشت پاکوتاه، زودرس، بدون خار، رنگ گل قرمز، مقاوم به خوابیدگی و ریزش، قابل کشت در مناطق گرم، معتدل و سرد (Bahadori et al., 2019) در ابتدای آذرماه کشت شد. بذرها در ردیف‌هایی به فاصله ۵۰ سانتی‌متر و فاصله روی ردیف پنج سانتی‌متر با عمق دو سانتی‌متر کشت گردید. فاصله بین تکرارها ۱/۵ متر و

می‌باشد (Daneshmand et al., 2006).

معادله (۱)

۱۰۰٪ وزن خاک خشک / (وزن خاک خشک - وزن خاک تر) = مقدار رطوبت
نیاز آبی گلرنگ به صورت روزانه با استفاده از میانگین روزانه داده‌های هواشناسی ایستگاه هواشناسی حسن آباد داراب (جدول ۲) محاسبه شد. در مجموع، مقدار آب مصرفی برای تیمار آبیاری مطلوب با ۱۰ دور آبیاری معادل ۴۹۹۳ مترمکعب در هکتار و برای تیمار قطع آبیاری در مرحله گل‌دهی با هفت دور آبیاری معادل ۳۴۹۵ متر مکعب در هکتار بود. برای رسیدن به ۴۰ بوته در مترمربع در مرحله چهار برگی، بوته‌های اضافی حذف شدند. در زمان رسیدگی فیزیولوژیکی، برای اندازه‌گیری عملکرد دانه پس از حذف اثر حاشیه، یک مترمربع از بوته‌ها در هر کرت آزمایشی، از نزدیکی سطح خاک بریده شد و در آون در دمای ۷۲ درجه به مدت ۴۸ ساعت قرار گرفت. سپس عملکرد و اجزای عملکرد (تعداد طبق در بوته، تعداد دانه در طبق و وزن هزار دانه) محاسبه گردید. زغال زیستی مورد استفاده حاصل دو نوع بقایای گیاهی مختلف شامل بقایای گندم و پنبه بود که از طریق روش گرماکافت آهسته در شرایط اکسیژن محدود تهیه شد (Mendez et al., 2012). روش کار به این صورت بود که بقایای گندم و پنبه به

صورت جداگانه در کوره در شرایط اکسیژن محدود در دمای ۴۰۰ درجه سلسیوس حرارت داده و نمونه‌ها به مدت سه ساعت در این دما نگهداری شدند. پس از آن، زغال‌های زیستی تولیدی به تدریج سرد شدند (Melo et al., 2013). و سپس آسیاب و از الک ۰/۵ میلی‌متری عبور داده شدند. برخی از ویژگی‌های شیمیایی زغال‌های زیستی در جدول ۳ آورده شده است. جهت تعیین غلظت کل عناصر فسفر، پتاسیم، مس، روی، آهن و منگنز، مقدار یک گرم از زغال زیستی پودر شده در کوره در دمای ۵۵۰ درجه سلسیوس خاکستر گردید و سپس، در اسید کلریدریک دو نرمال حل گردید و غلظت عناصر مورد نظر در عصاره به دست آمده اندازه‌گیری گردید (Ding et al., 2015). در عصاره حاصل، غلظت فسفر توسط دستگاه اسپکتروفتومتر در طول موج ۴۷۰ نانومتر، غلظت پتاسیم توسط روش شعله‌سنجی توسط دستگاه فلیم فتومتر (Corning 510, UK) و غلظت عناصر کم مصرف توسط دستگاه جذب اتمی (AAS: PG: 990, PG Instruments, UK) تعیین گردید. پهاش توسط روش سان و همکاران (Sun et al., 2014) با استفاده از سوسپانسیون ۲۰:۱ کودآلی به آب مقطر، قابلیت هدایت الکتریکی در عصاره ۱۰:۱ کودآلی به آب مقطر (Yang et al., 2016) اندازه‌گیری شد.

جدول ۲- داده‌های هواشناسی شهرستان داراب در سال زراعی ۱۳۹۸-۱۳۹۹

Table 2. Metrological data in Darab city in cropping year 2019-2020

Climatic index	شاخص اقلیمی									
	Month	September	October	November	December	January	February	March	April	May
میانگین کمینه دما Average minimum temperature	18.4	10.8	6.3	3.9	3.8	7.9	10.8	15.8	21.3	
میانگین بیشینه دما Average maximum temperature	35.4	26.2	19.8	17.6	18.3	23.1	23.6	31.9	40.5	
متوسط دما Average temperature	26.9	18.5	13	10.7	11	15.5	17.2	23.9	30.9	
بارندگی Rainfall	0.2	26.1	117.3	122.8	24.6	9.4	158.7	0.0	2.6	

شد. استخراج و اندازه‌گیری محتوای کلروفیل a و b و کاروتنوئید طبق روش آرنون (Arnon, 1967) انجام شد. که در این روش، ۰/۵ گرم از نمونه تر برگ و ۱۰ میلی‌لیتر استون ۸۰ درصد که به تدریج اضافه

سنجش رنگی‌های فتوسنتزی: برای اندازه‌گیری رنگی‌های فتوسنتزی، ۱۰ روز پس از تنش در مرحله گل‌دهی از پنج برگ جوان نزدیک به بالاترین غنچه در هر تیمار نمونه‌گیری انجام

می‌شد، در داخل یک هاون چینی به‌خوبی ساییده شدند. پس از آن عصاره به مدت ۱۵ دقیقه با دور ۶۰۰۰ در سانتیفریژ رسوب داده شد. بعد از آن، سه میلی‌لیتر از محلول شفاف رویی را با هفت میلی‌لیتر استون ۸۰ درصد به حجم ۱۰ میلی‌لیتر رسانده و در طول موج‌های ۴۷۰، ۶۴۵ و ۶۶۳ نانومتر با استفاده از دستگاه اسپکتروفوتومتر ساخت کشور ژاپن شرکت شیمادزو مدل (UV-160A)، میزان جذب عصاره استخراج شده قرائت گردید. در پایان، جهت محاسبه میزان رنگیزه‌های فتوسنتزی از معادله‌های زیر استفاده شد.

معادله (۲)

$$\text{Chlorophyll a} = (19.3 \times A_{663} - 0.86 \times A_{645})V / 100W$$

معادله (۳)

$$\text{Chlorophyll b} = (19.3 \times A_{645} - 3.6 \times A_{663}) V / 100W$$

معادله (۴)

$$\text{Carotenoid} = (100 \times A_{470}) - (3.27 \times \text{mg chl. a}) - (104 \times \text{mg chl. b}) / 227$$

که در این معادله‌ها، A: جذب نور در هر طول موج، W: وزن تر نمونه بر حسب گرم و V: حجم محلول صاف شده می‌باشد.

جدول ۳- برخی از ویژگی‌های شیمیایی زغال زیستی بقایای پنبه و گندم
Table 3- Some chemical characteristics of cotton and wheat residues biochar

خصوصیت Property	زغال زیستی پنبه Cotton biochar	زغال زیستی گندم Wheat biochar
قابلیت هدایت الکتریکی Ec (dS.m ⁻¹)	3.52	7.64
پهاس pH	10.10	10.58
فسفر کل Total P (%)	0.18	0.07
پتاسیم کل Total K (%)	0.74	0.63
روی کل Total Zn (mg.kg ⁻¹)	27.1	18.12
مس کل Total Cu (mg.kg ⁻¹)	10.3	5.35
منگنز کل Total Mn (mg.kg ⁻¹)	241	49.5
آهن کل Total Fe (mg.kg ⁻¹)	361	183

از معادله زیر به دست آمد.

معادله (۵)

$$\text{Catalase activity} = (\Delta \times v) / (\epsilon \times v_s \times \text{FW})$$

که در آن، FW: وزن تر نمونه برگ برداشت شده بر حسب (گرم)،

Δ: تفاوت دو جذب در دقیقه (ابتدا جذب اول و پس از ۳۰ ثانیه جذب

دوم خوانده می‌شود)، ε: ضریب خاموشی (ε=39.4 mM⁻¹.cm⁻¹)،

v_s: حجم نمونه برداشت شده بر حسب (میلی‌لیتر) و v: حجم کل

عصاره برگ (میلی‌لیتر) می‌باشد.

اندازه‌گیری فعالیت آنزیم پراکسیداز: برای اندازه‌گیری

فعالیت آنزیم پراکسیداز، مخلوط واکنشی از (دو میلی‌لیتر بافر فسفات

پتاسیم با pH=۷ و ۰/۲ میلی‌لیتر گایاکول ۱۰ میلی‌مولار همراه با ۰/۳

اندازه‌گیری فعالیت آنزیم کاتالاز: برای سنجش آنزیم‌های

آنتی اکسیدانی ۱۰ روز پس از تنش در مرحله گل‌دهی از پنج برگ

جوان نزدیک به بالاترین غنچه در هر تیمار نمونه‌گیری انجام شد که

با استفاده از روش ایبی (Aebi, 1984) فعالیت آنزیم کاتالاز تعیین

گردید. در این روش، در یک کیبوت کوارتر سه میلی‌لیتری مخلوط

سه محلول (۲/۵ میلی‌لیتر بافر فسفات پتاسیم ۵۰ میلی‌مولار با

pH= ۷، با ۰/۲ میکرولیتر عصاره آنزیمی و ۰/۳ میلی‌لیتر آب

اکسیژنه) ریخته شد و با دستگاه اسپکتروفوتومتر مدل (UV-160A) در

طول موج ۲۴۰ نانومتر فعالیت آنزیم کاتالاز در مدت زمان واکنش ۳۰

ثانیه بر حسب واحد بر دقیقه بر گرم وزن تر قرائت گردید و میزان آن

محتوای کلروفیل a و b و کل

نتایج جدول تجزیه واریانس نشان داد که اثرات اصلی رژیم آبیاری و تیمار کودی بر محتوای کلروفیل a و کل در سطح احتمال پنج درصد معنی‌دار شد، ولی بر محتوای کلروفیل b معنی‌دار نبود (جدول ۴). نتایج مقایسه میانگین اثر رژیم آبیاری بر کلروفیل نشان داد که در شرایط قطع آبیاری، کلروفیل a و همچنین کلروفیل کل کاهش یافت (جدول ۵). بیشترین میزان کلروفیل a مربوط به تیمار ۱۱۲/۵ کیلوگرم اوره در هکتار + ۳۷/۵ کیلوگرم سوپرفسفات تریپل در هکتار همراه با سه تن زغال زیستی گندم یا پنبه در هکتار به ترتیب با میانگین ۱/۵۵ و ۱/۵۲ میلی‌گرم بر گرم وزن تر به دست آمد (جدول ۵). این چنین روندی در مورد کلروفیل کل نیز مشاهده شد و تیمارهای تلفیقی دارای بیشترین میزان کلروفیل کل بودند. در نهایت، کمترین مقدار کلروفیل a و کل در شاهد بدون کود (عدم مصرف زغال زیستی) به ترتیب به میزان ۱/۰۵ و ۱/۵۸ میلی‌گرم بر گرم وزن تر به دست آمد. براساس پژوهشی، کاربرد زغال زیستی باعث بالا رفتن میزان کلروفیل می‌گردد که این امر موجب بهبود مواد هیدروکربنی، فتوسنتز و تولید زیست‌توده بیشتر و در نهایت، موجب افزایش ارتفاع و سطح برگ می‌گردد (Song et al., 2012). براساس گزارش محققان، با کاربرد دو نوع زغال زیستی به دست آمده از بقایای سبوس برنج و آفتابگردان تهیه شده در دماهای مختلف و در سه سطح (۱، ۵ و ۱۰ تن در هکتار) در یک آزمایش مزرعه‌ای در کشت ذرت (*Zea mays* L.) کاربرد هر دو نوع زغال زیستی باعث افزایش معنی‌دار کلروفیل برگ ذرت نسبت به تیمار عدم کاربرد زغال زیستی شد (Adejumo et al., 2016). در برخی پژوهش‌ها، جهت ارزیابی میزان فتوسنتز گیاه، محتوای کلروفیل برگ اندازه‌گیری می‌شود که یکی از عوامل بسیار مهم در تولید ماده خشک گیاه به‌شمار می‌رود. بنابراین، کاهش آن در شرایط رژیم آبیاری به‌عنوان یک عامل محدودکننده غیرروزیه ای در فتوسنتز محسوب می‌شود (Ghosh Amiri et al., 2016)؛ (et al., 2004). زمانی که گیاهان با تنش آبی مواجه می‌شوند، با بستن روزنه‌ها و کاهش تعرق، آب برگ را حفظ می‌کنند و میزان دی‌اکسیدکربن در بافت مزوفیلی گیاه را کاهش داده و این شرایط، واکنش‌های تاریکی فتوسنتز شده را مختل می‌کنند، در نتیجه محصولات حاصل از واکنش‌های روشنایی مصرف نمی‌شوند و مولکول اکسیژن به‌عنوان پذیرنده جانشین الکترون در مسیر زنجیره انتقال الکترون عمل می‌کند و باعث شکل‌گیری رادیکال‌های آزاد

میلی‌لیتر آب اکسیژنه پنج میلی‌مولار) استفاده گردید. در این روش، در یک کیبوت شیشه‌ای سه میلی‌لیتری به مخلوط واکنش فوق ۰/۲ میکرولیتر از عصاره آنزیمی اضافه شد و در طول موج ۴۷۰ نانومتر و قرار دادن در دستگاه اسپکتروفتومتر در مدت زمان واکنش ۶۰ ثانیه فعالیت آنزیم پراکسیداز اندازه‌گیری و ثبت شد (Aebi, 1984). در پایان، از معادله زیر میزان آن محاسبه گردید.

معادله (۵)

$$\text{Peroxidase activity} = (\Delta \times v) / (\epsilon \times v_s \times FW)$$

که در آن، Δ : نشان‌دهنده تفاوت دو جذب در دقیقه (ابتدا جذب اول و پس از ۶۰ ثانیه جذب دوم را خوانده می‌شود)، v_s : حجم نمونه برداشت شده (میلی‌لیتر)، v : حجم کل عصاره برگ (میلی‌لیتر)، FW : وزن تر نمونه برگ برداشت شده (گرم) و ϵ : ضریب خاموشی ($\epsilon = 26.6 \text{ mM}^{-1} \text{ cm}^{-1}$) می‌باشد.

اندازه‌گیری محتوای نسبی آب برگ (RWC): جهت

اندازه‌گیری محتوای نسبی آب برگ ۱۰ روز پس از تنش در مرحله گل‌دهی از پنج برگ جوان نزدیک به بالاترین غنچه در هر تیمار به صورت تصادفی نمونه‌گیری انجام شد و برگ‌ها در کیسه پلاستیکی قرار داده شدند و بلافاصله جهت تعیین رطوبت به آزمایشگاه انتقال یافت. در آنجا، وزن تازه برگ‌ها مشخص شد و پس از آن، در درجه حرارت اتاق (۱۸-۲۰ درجه سانتی‌گراد) و در تاریکی به مدت ۱۸-۱۶ ساعت در آب مقطر غوطه‌ور شدند و به دنبال آن، وزن آماس پس از حذف رطوبت سطح نمونه‌ها با قرار دادن آن‌ها در بین کاغذ خشک کن، تعیین گردید. وزن خشک نیز پس از قرار گرفتن نمونه‌ها به مدت ۴۸ ساعت در دمای ۷۰ درجه سانتی‌گراد تعیین و در نهایت، محتوای نسبی آب از معادله زیر محاسبه شد (Barrsu et al., 2015).

$$\text{RWC} = (FW - DW) / (TW - DW) \times 100 \quad (۷)$$

که در آن، RWC: محتوای نسبی آب برگ، FW: وزن تازه،

TW: وزن آماس و DW: وزن خشک می‌باشد.

تجزیه واریانس صفات اندازه‌گیری شده پس از جمع‌آوری داده‌ها، با استفاده از نرم‌افزار SAS (نسخه ۹/۲) انجام شد و میانگین‌ها با آزمون LSD در سطح احتمال یک درصد مورد مقایسه قرار گرفته و از نرم‌افزار اکسل (نسخه ۲۰۱۳) نیز برای ترسیم شکل‌ها استفاده گردید.

نتایج و بحث

می‌شود که سرعت افزایش آن‌ها کاهش یابد (Chalker-Scott, 2002). مطابق با پژوهش حاضر، افزایش محتوای کاروتنوئید جهت مقابله با تنش آبی در گیاه گلرنگ توسط آزاد بخت و همکاران (Azad et al., 2017) و در گیاه گندم (Triticum aestivum L.) توسط عبدالله و همکاران (Abdollah et al., 2007) گزارش شده است که نشان‌دهنده فعال شدن مکانیسم دفاعی گیاه گلرنگ در مواجهه با تنش آبی می‌باشد.

محتوای نسبی آب برگ (RWC)

نتایج تجزیه واریانس داده‌های مربوط به محتوای نسبی آب برگ نشان‌دهنده معنی‌دار بودن اثر متقابل رژیم آبیاری در تیمار کودی در سطح احتمال یک درصد بود. (جدول ۴). بیشترین محتوای نسبی آب برگ مربوط به کاربرد تیمار ۱۱۲/۵ کیلوگرم اوره در هکتار + ۳۷/۵ کیلوگرم سوپرفسفات تریپل در هکتار + سه تن زغال زیستی پنبه در هکتار در شرایط آبیاری مطلوب با میانگین ۶۴/۱۷ درصد بود که نسبت به شاهد بدون کود در آبیاری مطلوب با میانگین ۳۹/۹۵، به میزان ۲۴/۲۲ درصد افزایش نشان داد (شکل ۱). همچنین، بیشترین محتوای نسبی آب برگ در شرایط قطع آبیاری در گل‌دهی مربوط به تیمار ۱۱۲/۵ کیلوگرم اوره در هکتار + ۳۷/۵ کیلوگرم سوپرفسفات تریپل در هکتار + سه تن زغال زیستی پنبه در هکتار با میانگین ۵۶/۷۰ درصد می‌باشد که نسبت به شاهد بدون کود در همین شرایط با میانگین ۳۷/۰۵، ۱۹/۶۵ درصد افزایش نشان می‌دهد (شکل ۱). در واقع، زغال زیستی به کار رفته در این تیمار توانسته است، محتوای نسبی آب برگ را با حفظ رطوبت خاک افزایش دهد. زغال زیستی از روش‌های مختلفی مانند نگهداری آب و مواد غذایی، افزایش ظرفیت تبادل کاتیونی (Glaser et al., 2002)، بهبود ویژگی‌های کیفی خاک (Sohi, 2012)، کاهش تصعید گازهای گلخانه‌ای و افزایش میزان ترسیب کربن در خاک (Chan et al., 2008)، تحریک فعالیت ریزجانداران خاک (Lehmann et al., 2011) و بهبود کارایی مصرف عناصر غذایی، سبب افزایش رشد و عملکرد گیاهان می‌شود (Ippolito et al., 2012). کاهش محتوای نسبی آب فعالیت‌های حیاتی گیاه را مختل کرده و مانع تقسیم سلولی، فتوسنتز خالص و سنتز پروتئین، کاهش رشد اندام‌های گیاهی و تغییر در تعادل هورمونی بافت‌های اساسی گیاه می‌گردد (Lin et al., 2006). محققان در کلزا (*Brassica napus*) در شرایط تنش آبی کاهش

اکسیژن می‌شود که در نتیجه، با کاهش بیوسنتز و افزایش تجزیه کلروفیل، مقدار کلروفیل کاهش می‌یابد (Santosa, 2004). همچنین، کاهش مقدار کلروفیل‌ها در شرایط تنش آبی در گندم گزارش شده است (Abdalla et al., 2007). در گیاه گلرنگ و گیاه لوبیا با افزایش شدت تنش آبی میزان کلروفیل به ترتیب ۶۹ و ۵۵ درصد کاهش یافت (Flexas et al., 2008). براساس مطالعه حسین‌زاده و همکاران (Hosseinzadeh et al., 2016)، در شرایط تنش آبی، محتوای آب برگ‌ها و انتقال مواد معدنی در اثر تنش اکسیداتیو در سلول‌های برگ، کاهش یافته و رنگدانه‌ها تجزیه شدند که با نتایج پژوهش حاضر به‌ویژه در شاهد بدون کود مطابقت دارد. با توجه به پژوهش‌های بررسی شده، به نظر می‌رسد که کاربرد زغال زیستی با حفظ رطوبت خاک و بهبود وضعیت آب و تغذیه‌ای گیاه نقش مهمی در افزایش رنگدانه‌های گلرنگ دارد.

محتوای کاروتنوئید

نتایج جدول تجزیه واریانس نشان داد که اثر رژیم آبیاری بر محتوای کاروتنوئید در سطح احتمال یک درصد معنی‌دار شد (جدول ۴). به‌طور کلی، تنش آبی باعث افزایش محتوای کاروتنوئید گردید، به‌گونه‌ای که بیشترین میزان کاروتنوئید از تیمار ۱۱۲/۵ کیلوگرم اوره در هکتار + ۳۷/۵ کیلوگرم سوپرفسفات تریپل در هکتار + سه تن زغال زیستی پنبه در هکتار در شرایط تنش آبی حاصل شد که نسبت به شاهد بدون کود، ۶۴/۷ درصد افزایش داشت. در شرایط آبیاری مطلوب نیز بیشترین محتوای کاروتنوئید در تیمار تلفیقی پنبه مشاهده شد که ۵۳/۸ درصد نسبت به شاهد بدون کود بیشتر بود (جدول ۴). بالا رفتن محتوای کاروتنوئید بر اثر رژیم آبیاری، ناشی از اثر دفاعی این رنگیزه‌ها می‌باشد. کاروتنوئیدها در سیستم دفاع آنتی‌اکسیدانی برای محافظت از رنگدانه‌های فتوسنتزی کلروفیل، نقش بسیار مهمی بر عهده دارند و افزایش میزان آن‌ها در شرایط تنش آبی قابل پیش‌بینی است. افزایش مقدار کاروتنوئیدها در شرایط قطع آبیاری در گل‌دهی و افزایش آن در مرحله پر شدن دانه، نشان‌دهنده نقش مهم آن در تعدیل میزان رادیکال‌های فعال اکسیژن می‌باشد (Navabpour et al., 2015). در واقع، افزایش کاروتنوئیدها با افزایش شدت تنش آبی بیانگر نقش کلیدی و حفاظتی آن‌ها در شرایط تنش می‌باشد و با پیشرفت تنش آبی به دلایلی مانند پیری زودرس و تخریب آن‌ها توسط عوامل مخرب (از جمله اکسیژن فعال) باعث

گلرنگ نشان دادند که میزان کاتالاز در تنش آبی ملایم و شدید نسبت به شرایط آبیاری مطلوب بین ۴۴ تا ۶۳ درصد افزایش یافتند (Rahbarian et al., 2012; Taheri et al., 2017). در واقع، در پژوهش حاضر در زمان تنش در مرحله گل‌دهی، میزان آنزیم کاتالاز افزایش یافته تا از گیاه در مقابل اثرات مخرب تنش آبی محافظت کند و بین تیمارهای به‌کار رفته، در شاهد بدون کود، به‌دلیل عدم مصرف زغال‌های زیستی یا کودهای شیمیایی تنش کمبود مواد غذایی نیز بر گیاه وارد شده که بیشترین افزایش میزان آنزیم کاتالاز را شاهد بودیم.

فعالیت آنزیم پراکسیداز

نتایج جدول تجزیه واریانس داده‌های مربوط به فعالیت آنزیم پراکسیداز در جدول ۴ نشان داد که اثر متقابل رژیم آبیاری در تیمار کودی در سطح احتمال یک درصد معنی‌دار شد. با قطع آبیاری در گل‌دهی فعالیت آنزیم پراکسیداز افزایش یافت. بیشترین میزان فعالیت آنزیم پراکسیداز مربوط به تیمار قطع آبیاری در گل‌دهی در شاهد بدون کود با میانگین ۲/۷۵ واحد بر دقیقه بر گرم وزن تر بود که نسبت به همین تیمار با میانگین ۱/۹۸ واحد بر دقیقه بر گرم وزن تر در شرایط آبیاری مطلوب ۳۸/۸۸ درصد افزایش داشت (جدول ۶). در شرایط تنش آبی، ظرفیت انتقال الکترون فتوسنتزی کاهش یافته و روزنه‌ها بسته و باعث تجمع الکترون‌ها و افزایش گونه‌های فعال اکسیژن مانند پراکسید هیدروژن شده که منجر به تخریب سیستم فتوسنتزی، غشای سلول و اکسیداسیون بسیاری از ترکیبات حیاتی گیاهان می‌شود (Taheri et al., 2017). افزایش فعالیت آنزیم‌های آنتی‌اکسیدان نظیر پراکسیداز، اولین سد دفاعی در مقابله با افزایش گونه‌های واکنش‌دهنده اکسیژن در سلول‌های گیاهان می‌باشد (Gunes et al., 2006). براساس مطالعه طاهری و همکاران (Taheri et al., 2017)، تنش آبی ملایم و شدید میزان فعالیت آنزیم پراکسیداز را نسبت به شرایط آبیاری مطلوب به‌ترتیب ۱۰/۳۲ و ۳۳/۵ درصد افزایش داد. افزایش فعالیت آنزیم پراکسیداز در اثر تنش آبی در گلرنگ (Hassanpour Lescokelaye et al., 2013) نیز گزارش شده است. در پژوهش حاضر نیز آنزیم پراکسیداز نیز همچون آنزیم کاتالاز، در مواجهه با تنش آبی افزایش یافت و در شاهد بدون کود، به دلیل استفاده نکردن از تیمارهای کودی، میزان پراکسیداز کاهش یافت.

محتوای نسبی آب برگ را گزارش کردند (Arvin et al., 2017). در واقع، با افزایش شدت تنش آبی، پتانسیل آب برگ، رطوبت خاک، محتوای نسبی آب برگ پایین آمده و به دنبال آن هدایت روزنه‌ای و در نتیجه، ورود دی‌اکسید کربن به داخل برگ کاهش می‌یابد. کاهش هدایت روزنه‌ای ناشی از تغییر محتوای نسبی آب نشان‌دهنده این است که احتمالاً علائم ارسالی از ریشه در شرایط تنش آبی باعث بسته شدن روزنه‌ها و کاهش فتوسنتز می‌شود (Zhou et al., 2017). در پژوهش حاضر به نظر می‌رسد که استفاده از زغال زیستی به‌کار رفته در تیمار تلفیقی کود شیمیایی با زغال زیستی پنبه، موجب بهبود و افزایش محتوای نسبی آب برگ به‌دلیل حفظ رطوبت خاک شده است.

فعالیت آنزیم کاتالاز

نتایج تجزیه واریانس داده‌های مربوط به فعالیت آنزیم کاتالاز نشان‌دهنده معنی‌دار بودن اثر متقابل رژیم آبیاری در تیمار کودی در سطح احتمال یک درصد بود (جدول ۴). بیشترین میزان فعالیت آنزیم کاتالاز با میانگین ۲/۸۸ واحد بر دقیقه بر گرم وزن تر مربوط به تیمار قطع آبیاری در گل‌دهی در شاهد بدون کود بود که نسبت به شاهد بدون کود در آبیاری مطلوب ۴۸/۴۵ درصد افزایش داشت (جدول ۶). در واقع، در شرایط تنش آبی فعالیت آنزیم‌های کاتالاز و پراکسیداز افزایش می‌یابد که باعث بالا رفتن پتانسیل دفاعی گیاه در مقابل با کمبود آب می‌شود و میزان تحمل گیاه را به تنش آبی بهبود می‌بخشد. رادیکال‌های آزاد اکسیژن پس از قطع آبیاری افزایش یافته و موجب تخریب سیستم فتوسنتزی، غشای سلولی و اکسیداسیون بسیاری از ترکیبات حیاتی گیاهان می‌شوند (Borislev et al., 2016; Rahbarian et al., 2012). آنزیم‌هایی مانند سوپراکسید دیسموتاز، کاتالاز و پراکسیداز اولین سد دفاعی در مقابله با افزایش رادیکال‌های آزاد اکسیژن در سلول‌های گیاهان می‌باشند. در نتیجه، افزایش فعالیت این آنزیم‌ها در جهت کاهش اثر منفی رادیکال‌های آزاد اکسیژن تحت تنش آبی در گیاه ضروری به نظر می‌رسد (Gunes et al., 2006). روزنه‌ها در شرایط قطع آبیاری بسته می‌شوند و باعث افزایش دمای برگ‌ها شده و به تبع آن، رادیکال‌های آزاد اکسیژن تشکیل و موجب پراکسیداسیون پروتئین‌ها و لیپیدها می‌شود. آنزیم‌هایی نظیر کاتالاز و پراکسیداز در این شرایط، به‌عنوان آنزیم‌های اکسیداتیو فعال تر می‌شوند (Sirous Mehr et al., 2014). محققان در مطالعه‌ای روی

عملکرد زیست‌توده

نتایج جدول تجزیه واریانس داده‌های مربوط به عملکرد زیست-توده نشان داد که اثر متقابل رژیم آبیاری در تیمار کودی در سطح احتمال یک درصد معنی‌دار شد (جدول ۴). عملکرد زیست‌توده در شرایط آبیاری مطلوب در تیمار ۱۱۲/۵ کیلوگرم اوره در هکتار + ۳۷/۵ کیلوگرم سوپر فسفات تریپل در هکتار + سه تن زغال زیستی پنبه در هکتار با میانگین ۷۴۳۳ کیلوگرم در هکتار بیشترین میزان را نشان داد که نسبت به شاهد بدون کود در همین شرایط، ۲۷/۵ درصد افزایش داشت (شکل ۲). همچنین، بیشترین عملکرد زیست‌توده در شرایط تنش آبی در مرحله گل‌دهی مربوط به همین تیمار با میانگین ۶۵۴۲ کیلوگرم در هکتار بود که نسبت به شاهد بدون کود در همین شرایط، با میانگین ۵۳۶۰ کیلوگرم در هکتار، ۲۲/۰۵ درصد افزایش عملکرد مشاهده شد. عملکرد زیست‌توده نشان‌دهنده ظرفیت گیاه در جذب نور و تبدیل انرژی نورانی به شیمیایی است، بنابراین، کاهش هدایت روزنه‌ای و فتوسنتز خالص و همچنین، مقدار کلروفیل کم‌تر در شرایط تنش آبی می‌تواند باعث کاهش عملکرد زیست‌توده شود (Liu et al., 2004). گزارش‌های مختلف، بیانگر بهبود عملکرد یا افزایش زیست‌توده گیاهی در نتیجه کاربرد زغال زیستی در مناطق حاره با خاک‌های اسیدی می‌باشد. در خاک‌های هوادیده مناطق حاره، کاهش اسیدیته خاک، دلیل اصلی تأثیر مثبت زغال زیستی بر گیاه است (Rajkovich et al., 2012). مطالعاتی در مورد اثرات زغال زیستی بر گیاه در مناطق غیرحاره مانند مناطق خشک و نیمه خشک با خاک غیراسیدی انجام شده است. به‌عنوان مثال، در اثر کاربرد ۱۰ تن در هکتار زغال زیستی در یک خاک آهکی، باعث افزایش تولید زیست‌توده سویا و کاهش تولید زیست‌توده گندم شد (Van Zwieten et al., 2010). محققان گزارش کردند که با استفاده از دو نوع زغال زیستی حاصل از شبدر سفید و کود مرغی در یک خاک لومی، عملکرد زیست‌توده دو گیاه ذرت و گندم و همچنین، وزن خشک ریشه در دو گیاه به‌طور معنی‌داری نسبت به تیمار عدم کاربرد زغال زیستی افزایش یافت (Abbasi et al., 2015). در پژوهش حاضر به نظر می‌رسد که استفاده از تیمار ۱۱۲/۵ کیلوگرم اوره در هکتار + ۳۷/۵ کیلوگرم سوپرفسفات تریپل در هکتار + سه تن زغال زیستی پنبه در هکتار موجب افزایش محتوای نسبی آب برگ، فتوسنتز خالص،

کلروفیل بیشتر و در نهایت، عملکرد زیست‌توده بالاتر می‌گردد.

تعداد دانه در طبق

نتایج جدول تجزیه واریانس تعداد دانه در طبق در جدول ۴ نشان داد که اثر رژیم آبیاری در سطح یک درصد دارای اختلاف آماری معنی‌داری می‌باشد. در این مطالعه تیمار ۱۱۲/۵ اوره + ۳۷/۵ فسفات + سه تن زغال زیستی پنبه با میانگین ۱۵/۸۰ دانه با تیمار آبیاری مطلوب، بیشترین و شاهد بدون کود با میانگین ۱۲/۵۰ دانه در تیمار تنش آبیاری در مرحله گل‌دهی کمترین میزان دانه در طبق را به خود اختصاص دادند (جدول ۶). در این مطالعه، استفاده از تیمار ۱۱۲/۵ کیلوگرم اوره در هکتار + ۳۷/۵ کیلوگرم سوپرفسفات تریپل در هکتار + سه تن زغال زیستی پنبه در هکتار در شرایط آبیاری مطلوب و تنش آبی، به‌ترتیب موجب افزایش ۱۲/۸۵ و ۸/۸ درصدی تعداد دانه در طبق نسبت به شاهد بدون کود شده است. براساس گزارش محققان، بیشترین تعداد دانه در طبق از مصرف پنج تن در هکتار زغال زیستی به‌دست آمد (Sajedi et al., 2018). در پژوهش حاضر، افزایش تعداد دانه در طبق با مصرف تیمار تلفیقی کودشیمیایی با زغال زیستی پنبه به‌دلیل این است که در این تیمار زغال زیستی می‌تواند ضمن تأمین بخشی از عناصر مورد نیاز گیاه به‌خصوص پتاسیم، از هدررفت و آبشویی عناصر غذایی نیز جلوگیری کرده و ویژگی‌های فیزیکی خاک جهت بهبود رشد ریشه را نیز بهبود بخشد (Najafi-Ghiri et al., 2022b).

تعداد طبق بارور در بوته

نتایج تجزیه واریانس نشان‌دهنده تأثیر معنی‌دار تیمار کودی در سطح احتمال پنج درصد بر تعداد طبق بارور در بوته می‌باشد (جدول ۴). بیشترین تعداد طبق تولید شده در گیاه مربوط به تیمار ۱۱۲/۵ کیلوگرم اوره در هکتار + ۳۷/۵ سوپرفسفات تریپل در هکتار + سه تن زغال زیستی پنبه در هکتار در شرایط آبیاری مطلوب به‌میزان ۱۰/۳۰ عدد ۱۹/۷۶ درصد افزایش نسبت به شاهد بدون کود در شرایط آبیاری مطلوب بود (جدول ۶).

جدول ۴- تجزیه واریانس (میانگین مربعات) صفات اندازه گیری شده گل رنگ در شرایط رژیم آبیاری و تیمار کودی
 Table 4- Analysis of variance (mean square) of the measured traits of safflower under the irrigation regime and fertilizer treatment

درجه آزادی df	محتوای a	محتوای b	کلروفیل کل Total Chlorophyll	محتوای کلروفیل Carotenoid content	کاتالاز Catalase	پراکسیداز Peroxidase	محتوای نسبی آب Relative water content	تعداد بونه No. of fertile capitule per plant	تعداد دانه در طبق No. of seed in capitule	عملکرد زیست توده Biological yield	عملکرد دانه Seed yield
2	0.24 ^{ns}	0.08*	0.65 ^{**}	0.06 ^{**}	0.02 ^{ns}	0.09 ^{**}	65.61 ^{**}	1.31 ^{ns}	5.47 ^{**}	1096.92 ^{ns}	5.21 ^{ns}
1	0.37*	0.06 ^{ns}	0.59*	0.06 ^{**}	2.50 ^{**}	4.83 ^{**}	1034.060 ^{**}	3.09*	43.20 ^{**}	8502300.21 ^{**}	844050.38 ^{**}
2	0.26	0.019	0.38	0.02	0.001	0.007	0.66	1.44	0.41	3911.35	7.45
6	0.21*	0.02 ^{ns}	0.31*	0.005 ^{ns}	1.02 ^{**}	0.39 ^{**}	283.61 ^{**}	3.32 ^{**}	1.26*	691210.85 ^{**}	106790.48 ^{**}
6	0.03 ^{ns}	0.002 ^{ns}	0.03 ^{ns}	0.001*	0.34 ^{**}	0.11 ^{**}	34.71 ^{**}	0.44 ^{ns}	2.79*	206343.71 ^{**}	13644.99 ^{**}
24	0.07	0.017	0.09	0.008	0.008	0.005	9.38	0.69	0.89	3158.81	283.91
	21.20	23.49	16.28	15.55	4.99	3.66	6.40	8.91	6.78	0.87	1.09

منابع تغییرات S.O.V	تکرار Replication (r)	رژیم آبیاری Irrigation regime (A)	خطای کرت اصلی Main plot error (Rep. × A)	تیمار کودی (B)	A × B	خطای کرت فرعی Subplot error (Rep. × B)	ضریب تغییرات CV (%)
------------------------	--------------------------	---	--	----------------	-------	--	------------------------

جدول ۵- مقایسه میانگین اثرات ساده رژیم آبیاری و تیمار کودی روی کلروفیل a و کل گلرنگ

Table 5- The main effects of irrigation regime and fertilizer treatment on chlorophyll a and total of safflower

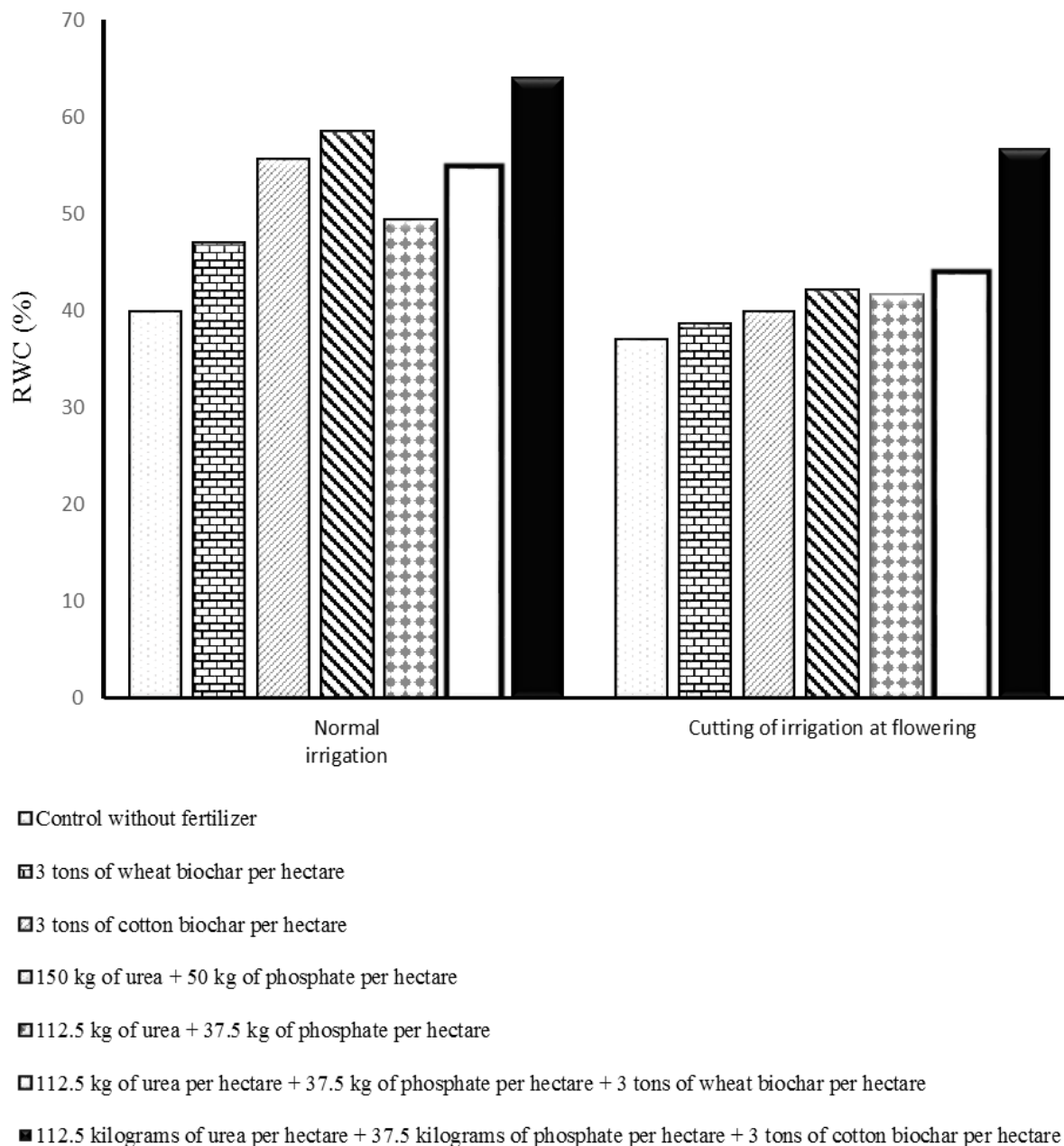
اثرات اصلی Main effects	محتوای کلروفیل a Chlorophyll a content (mg.g ⁻¹ Fw)	محتوای کلروفیل کل Total chlorophyll content (mg.g ⁻¹ Fw)
رژیم آبیاری Irrigation regime	آبیاری مطلوب Normal irrigation 1.38	1.97
	قطع آبیاری در گل دهی Cutting of irrigation at flowering 1.19	1.73
	LSD (0.05) 0.13	0.22
	سه تن زغال زیستی گندم در هکتار 3 tons of wheat biochar per hectare 1.23	1.83
	سه تن زغال زیستی پنبه در هکتار 3 tons of cotton biochar per hectare 1.30	1.80
	۱۵۰ کیلوگرم اوره در هکتار + ۵۰ کیلوگرم سوپر فسفات تریپل در هکتار 150 kg of urea + 50 kg of phosphate per hectare 1.27	1.78
تیمار کودی Fertilizer treatment	۱۱۲/۵ کیلوگرم اوره در هکتار + ۳۷/۵ کیلوگرم سوپر فسفات تریپل در هکتار 112.5 kg of urea + 37.5 kg of phosphate per hectare 1.11	1.68
	۱۱۲/۵ کیلوگرم اوره در هکتار + ۳۷/۵ کیلوگرم سوپر فسفات تریپل در هکتار + سه تن زغال زیستی گندم در هکتار 112.5 kg of urea per hectare + 37.5 kg of phosphate per hectare + 3 tons of wheat biochar per hectare 1.55	2.26
	۱۱۲/۵ کیلوگرم اوره در هکتار + ۳۷/۵ کیلوگرم سوپر فسفات تریپل در هکتار + سه تن زغال زیستی پنبه در هکتار kilograms of urea per hectare + 37.5 kilograms of phosphate per hectare + 3 tons of cotton biochar per hectare 1.52	2.05
	LSD (0.05) 0.14	0.21

جدول ۶- مقایسه میانگین صفات گیاهی گلرنگ در شرایط رژیم آبیاری و تیمار کودی

Table 6- Comparison of average plant traits of safflower under irrigation regime and fertilizer treatment

رژیم آبیاری Irrigation regime	تیمار کودی Fertilizer treatment	محتوای کاروتنوئید Carotenoid content (mg.g ⁻¹ Fw)	کاتالاز Catalase (U.min ⁻¹ .g ⁻¹ Fw)	پراکسیداز Peroxidase (U.min ⁻¹ .g ⁻¹ Fw)	تعداد طبق بارور در بوته No. of capitule per plant	تعداد دانه در طبق No. of seed in capitule	
آبیاری مطلوب Normal irrigation	شاهد بدون کود Control without fertilizer	0.13	1.94	1.98	8.60	14.0	
	سه تن زغال زیستی گندم در هکتار 3 tons of wheat biochar per hectare	0.14	1.87	1.78	9.20	14.40	
	سه تن زغال زیستی پنبه در هکتار 3 tons of cotton biochar per hectare	0.20	1.92	1.89	9.30	15.0	
	۱۵۰ کیلوگرم اوره + ۵۰ کیلوگرم فسفات در هکتار 150 kg of urea + 50 kg of phosphate per hectare	0.14	1.14	1.40	9.40	15.50	
	۱۱۲/۵ کیلوگرم اوره + ۳۷/۵ کیلوگرم فسفات در هکتار 112.5 kg of urea + 37.5 kg of phosphate per hectare	0.15	1.26	1.48	9.23	14.60	
	۱۱۲/۵ کیلوگرم اوره در هکتار + ۳۷/۵ کیلوگرم فسفات در هکتار + سه تن زغال زیستی گندم در هکتار 112.5 kg of urea per hectare + 37.5 kg of phosphate per hectare + 3 tons of wheat biochar per hectare	0.15	1.48	1.59	9.30	14.90	
	۱۱۲/۵ کیلوگرم اوره در هکتار + ۳۷/۵ کیلوگرم فسفات در هکتار + سه تن زغال زیستی پنبه در هکتار 112.5 kilograms of urea per hectare + 37.5 kilograms of phosphate per hectare + 3 tons of cotton biochar per hectare	0.16	1.69	1.67	10.30	15.80	
	قطع آبیاری در گل‌دهی Cutting of irrigation at flowering	شاهد بدون کود Control without fertilizer	0.17	2.88	2.75	8.20	12.50
		سه تن زغال زیستی گندم در هکتار 3 tons of wheat biochar per hectare	0.24	2.65 ^b	2.71	8.60	12.60
		سه تن زغال زیستی پنبه در هکتار 3 tons of cotton biochar per hectare	0.28	2.41	2.57	9.0	12.80
۱۵۰ کیلوگرم اوره + ۵۰ کیلوگرم فسفات در هکتار 150 kg of urea + 50 kg of phosphate per hectare		0.24	1.88	2.22	9.50	12.76	
۱۱۲/۵ کیلوگرم اوره + ۳۷/۵ کیلوگرم فسفات در هکتار 112.5 kg of urea + 37.5 kg of phosphate per hectare		0.17	2.10	2.44	9.20	12.60	
۱۱۲/۵ کیلوگرم اوره در هکتار + ۳۷/۵ کیلوگرم فسفات در هکتار + سه تن زغال زیستی گندم در هکتار 112.5 kg of urea per hectare + 37.5 kg of phosphate per hectare + 3 tons of wheat biochar per hectare		0.24	1.22	1.80	9.50	13.40	
۱۱۲/۵ کیلوگرم اوره در هکتار + ۳۷/۵ کیلوگرم فسفات در هکتار + سه تن زغال زیستی پنبه در هکتار 112.5 kilograms of urea per hectare + 37.5 kilograms of phosphate per hectare + 3 tons of cotton biochar per hectare		0.29	1.58	2.05	9.80	13.60	
LSD (0.05)		0.10	0.20	0.17	0.93	1.20	

LSD (0.05) = 7.8



شکل ۱- اثر متقابل رژیم آبیاری و تیمار کودی بر محتوای نسبی آب برگ (RWC) گلرنگ

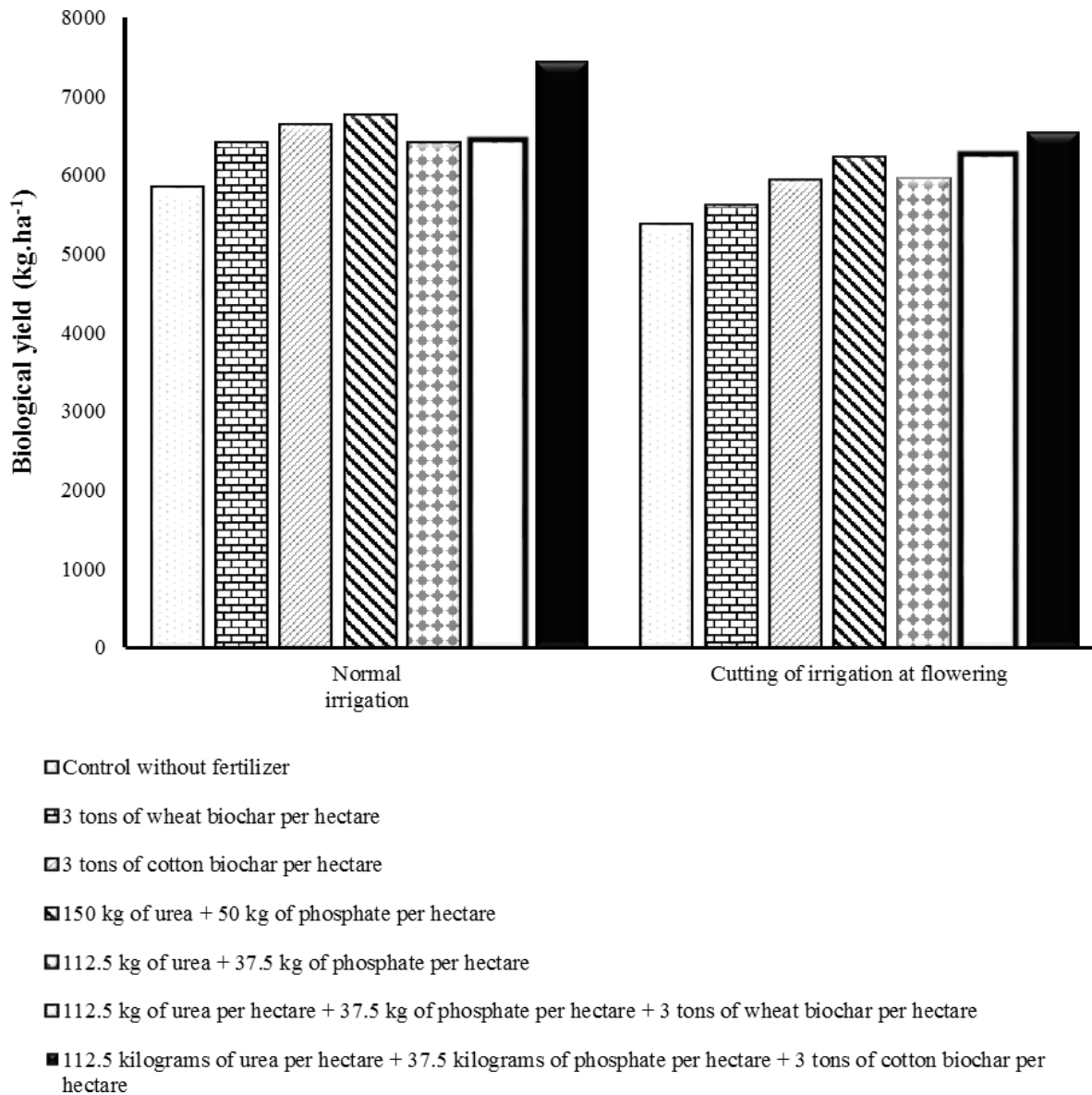
Fig. 1- The interaction effect of irrigation regime and fertilizer treatment on relative leaf water content (RWC) of safflower

نهایت، تعداد طبق در بوته را کاهش می‌یابد (Hayashi et al., 1985). برخی محققان نیز در پژوهشی گزارش کردند که تنش آبی باعث کاهش در تعداد طبق در بوته گلرنگ می‌شود (Shiresmaeili et al., 2017). در پژوهش حاضر، علت افزایش تعداد طبق بارور در بوته نیز همچون تعداد دانه در طبق، به دلیل مصرف تیمار تلفیقی با زغال زیستی پنبه می‌باشد. این تیمار باعث بهبود محتوای نسبی آب

همچنین، با کاربرد این تیمار در شرایط قطع آبیاری در گل‌دهی افزایش ۱۹/۵۱ درصدی تعداد طبق بارور در بوته نسبت به شاهد بدون کود مشاهده شد (جدول ۶). تنش آبی، طول دوره رشد گیاه را کاهش داده و باعث تسریع در ورود به فاز زایشی شده و این امر موجب کاهش تعداد طبق در بوته می‌گردد، تنش آبی همچنین از رشد جوانه‌های جانبی و شاخه‌های فرعی بیشتر جلوگیری کرده و در

برگ و همچنین موجب بالابردن آب قابل دسترس گیاه شده و در نتیجه، باعث افزایش اجزای عملکرد و عملکرد دانه شد.

LSD (0.05) = 251



شکل ۲- اثر متقابل رژیم آبیاری و تیمار کودی بر عملکرد زیست‌توده گلرنگ

Fig. 2- The interaction effect of irrigation regime and fertilizer treatment on safflower biological yield.

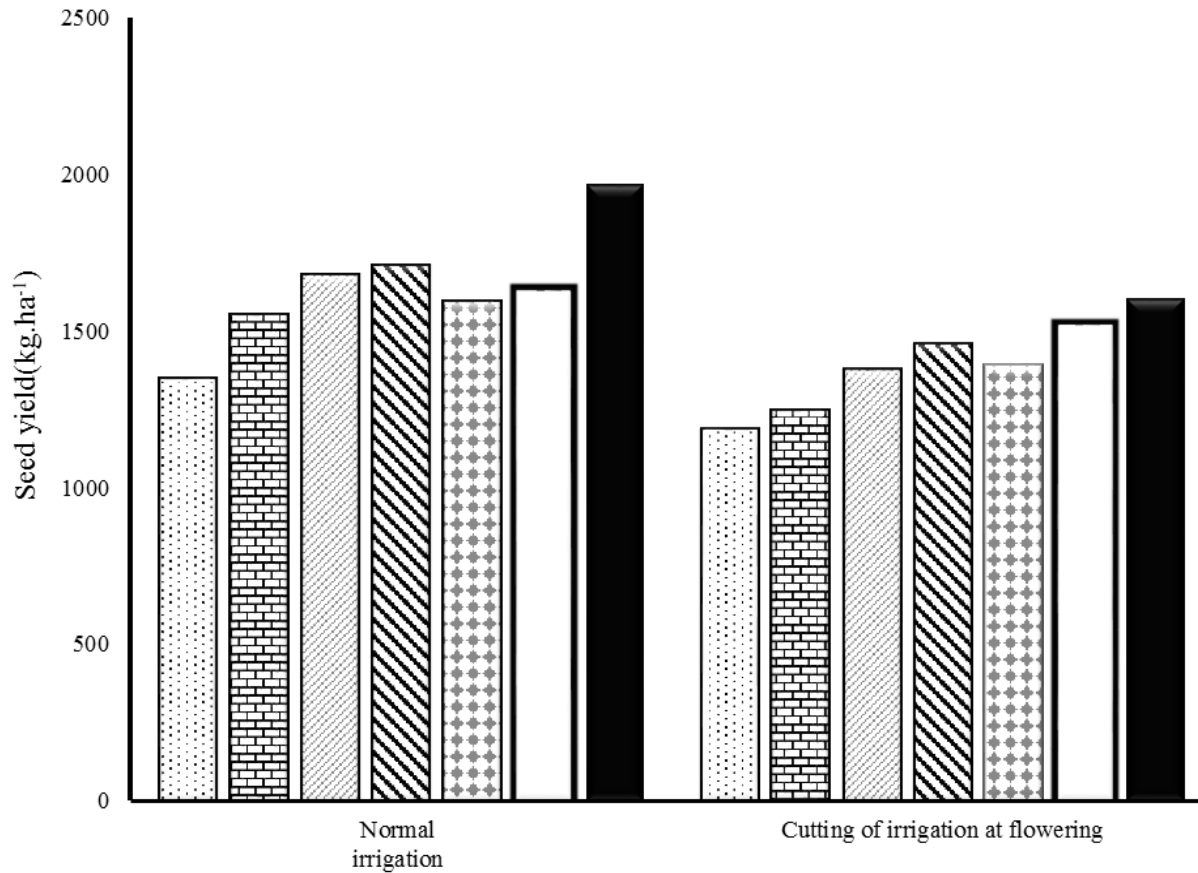
عملکرد دانه

نتایج جدول تجزیه واریانس عملکرد دانه در جدول ۴ نشان داد که اثر متقابل رژیم آبیاری در تیمار کودی در سطح یک درصد دارای اختلاف آماری معنی‌داری می‌باشد. بیشترین عملکرد دانه مربوط به تیمار ۱۱۲/۵ کیلوگرم اوره در هکتار + ۳۷/۵ کیلوگرم سوپرفسفات تریپل در هکتار + سه تن زغال زیستی پنبه در هکتار در شرایط

آبیاری مطلوب با میانگین ۱۹۷۰ کیلوگرم در هکتار به‌دست آمد که نسبت به شاهد بدون کود در شرایط مشابه با میانگین ۱۳۵۲ کیلوگرم در هکتار، ۴۵/۷٪ افزایش عملکرد نشان داد (شکل ۳). در تیمار ۱۱۲/۵ کیلوگرم اوره در هکتار + ۳۷/۵ کیلوگرم سوپرفسفات تریپل در هکتار + سه تن زغال زیستی پنبه در هکتار در شرایط تنش آبی در مرحله گل‌دهی با میانگین ۱۶۰۳ کیلوگرم در هکتار بیشترین عملکرد حاصل

شد که نسبت به شاهد بدون کود در همین شرایط، با میانگین ۱۱۹۰ (۶). کیلوگرم در هکتار، ۳۴/۷ درصد افزایش عملکرد مشاهده شد (جدول

LSD (0.05) = 76



- Control without fertilizer
- 3 tons of wheat biochar per hectare
- 3 tons of cotton biochar per hectare
- 150 kg of urea + 50 kg of phosphate per hectare
- 112.5 kg of urea + 37.5 kg of phosphate per hectare
- 112.5 kg of urea per hectare + 37.5 kg of phosphate per hectare + 3 tons of wheat biochar per hectare
- 112.5 kilograms of urea per hectare + 37.5 kilograms of phosphate per hectare + 3 tons of cotton biochar per hectare

شکل ۳- اثر متقابل رژیم آبیاری و تیمار کودی بر عملکرد دانه گلرنگ

Fig. 3- The interaction effect of irrigation regime and fertilizer treatment on safflower seed yield

نتایج آزمایش نشان داد که صفات اندازه‌گیری شده به‌طور معنی‌داری تحت تأثیر رژیم آبیاری و تیمار کودی قرار گرفت. براساس نتایج به‌دست آمده، تنش آبی باعث کاهش محتوای کلروفیل a و کل، محتوای نسبی آب برگ و عملکرد زیست‌توده و عملکرد دانه گلرنگ شد و منجر به افزایش محتوای کاروتنوئید، آنزیم‌های کاتالاز و پراکسیداز گردید. از سوی دیگر، کاربرد سه تن زغال زیستی پنبه در هکتار همراه با ۱۱۲/۵ کیلوگرم اوره در هکتار و ۳۷/۵ کیلوگرم سوپرفسفات تریپل در هکتار سبب بهبود و افزایش محتوای نسبی آب برگ، عملکرد زیست‌توده و عملکرد دانه در شرایط رژیم آبیاری نسبت به شاهد بدون کود به‌ترتیب به‌میزان ۵۳/۰۳، ۲۲/۰۵ و ۳۴/۷ درصد گردید. بنابراین، نتایج کلی این تحقیق نشان داد که استفاده از تیمار سه تن زغال زیستی پنبه در هکتار همراه با ۱۱۲/۵ کیلوگرم اوره در هکتار و ۳۷/۵ کیلوگرم سوپرفسفات تریپل در هکتار، در شرایط تنش آبی باعث بهبود محتوای نسبی آب برگ، صفات زراعی از جمله تعداد دانه در طبق، تعداد طبق بارور در بوته، عملکرد زیست‌توده (بیولوژیکی) و عملکرد دانه گلرنگ شد. با توجه به اینکه گیاهان زراعی در جنوب استان فارس با تنش آبی انتهایی فصل روبه‌رو هستند، می‌توان تا حدودی با بهره‌گیری از زغال زیستی بقایای پنبه و گندم به تنهایی و یا توأم با کود اوره و سوپرفسفات تریپل، از اثرات تنش آبی کم کرد. در پایان، انجام پژوهش‌های بیشتر در ارتباط با تهیه و کاربرد زغال زیستی برای رشد سایر گیاهان زراعی و استفاده در بخش کشاورزی جهت افزایش تولید و کاهش مصرف نهاده‌ها پیشنهاد می‌شود.

کاربرد زغال زیستی گندم با کود اوره و فسفات به‌صورت تلفیقی و همچنین، استفاده از زغال زیستی پنبه به‌صورت جداگانه در شرایط تنش آبی، عملکرد را به‌ترتیب نسبت به شاهد ۲۷/۸۱ و ۱۶/۰۵ درصد افزایش دادند. گزارش شده است که با مصرف زغال‌زیستی به‌دلیل افزایش درصد اشباع بازی خاک، ظرفیت تبادل کاتیونی و افزایش آب قابل دسترس گیاه، عملکرد ذرت از ۱۷ به ۲۱ تن در هکتار افزایش یافت (Cornelissen et al., 2013). براساس مطالعه پژوهشگران، افزودن زغال‌زیستی ذرت موجب کاهش جرم مخصوص ظاهری، افزایش پایداری خاکدانه و در نهایت، افزایش نگه‌داشت آب در خاک می‌شود (Herath et al., 2013). افزایش عملکرد با کاربرد زغال-زیستی در محیط‌های کنترل شده و مزرعه نیز توسط محققین گزارش شده است (Blackwell et al., 2009). با کاربرد ۲/۵، ۵، ۱۰، ۲۰، ۳۰ و ۴۰ تن در هکتار زغال‌زیستی حاصل از کاه گندم، در منطقه نیمه گرمسیری با میانگین بارندگی سالانه ۱۵۴۹ میلی‌متر، عملکرد کلزا به‌ترتیب نسبت به شاهد ۱۶/۲، ۲۱/۱، ۲۷/۹، ۳۴/۶، ۳۳/۲، ۳۶ درصد افزایش یافت (Liu et al., 2014). در پژوهش حاضر، مصرف تیمار ۱۱۲/۵ کیلوگرم اوره در هکتار + ۳۷/۵ کیلوگرم سوپرفسفات تریپل در هکتار + سه تن زغال زیستی پنبه در هکتار به‌دلیل بهبود ویژگی‌های مختلف خاک و تأمین بخشی از عناصر مورد نیاز گیاه (Najafi-Ghiri et al., 2022a) باعث افزایش عملکرد دانه شده است.

نتیجه‌گیری

References

1. Abbasi, M.K., & Anwar, A.A. (2015). Ameliorating effects of biochar derived from poultry manure and white clover residues on soil nutrient status and plant growth promotion-greenhouse experiments. *Plos One*, 10(6), 1-18. <https://doi.org/10.1371/journal.pone.0131592>
2. Abdalla, M.M., & El-Khoshiban, N.H. (2007). The influence of water stress on growth, relative water content, photosynthetic pigments, some metabolic and hormonal contents of two *Triticum aestivum* cultivars. *Journal of Applied Sciences Research*, 3, 2062-2074.
3. Adejumo, S.A., Owolabi, M.O., & Odesola, I.F. (2016). Agro-physiologic effects of compost and biochar produced at different temperatures on growth, photosynthetic pigment and micronutrients uptake of maize crop. *African Journal of Agricultural Research*, 11, 661-673. <http://dx.doi.org/10.5897/AJAR2015.9895>
4. Aebi, H. (1984). Catalase *in vitro*. In *Methods in Enzymology*, 105, 121-126. [https://doi.org/10.1016/S0076-6879\(84\)05016-3](https://doi.org/10.1016/S0076-6879(84)05016-3)
5. Amiri, A., Sirousmehr, A.R., Yadollahi, P., Asgharipour, A.R., & Esmaeilzadeh Bahbadi S. (2016). Effect of drought stress and spraying of salicylic acid and chitosan on photosynthetic pigments and antioxidant enzymes in safflower. *Journal of Crops Improvement*, 18, 2,453-466. (In Persian with English abstract)
6. Arnon, A.N. (1967). Method of extraction of chlorophyll in the plants. *Agronomy Journal*, 23, 112-121.

7. Arvin, P., Vafabakhsh, J., & Mazaheri, D. (2017). Study of plant growth promoting rhizobacteria (PGPR) and drought on physiological traits and ultimate yield of cultivars of oilseed rape (*Brassica* spp. L.). *Journal of Agroecology*, 4, 1208-1226. (In Persian with English abstract). <https://doi.org/10.22067/jag.v9i4.61808>
8. Asghari, B., & Gharibi Asl, S. (2016). The oil and protein content of Isfahan's safflower in different periods of irrigation, levels of humic acid and superabsorbent. *International Journal of Life Science and Pharma Research*, 1, 56-63.
9. Asqarpanh, J., & Kazemivash, N. (2013). Pharmacology and medicinal properties of (*Carthamus tinctorius* L.). *Chines Journal of Integrative Medicine*, 19(2), 53-59. <https://doi.org/10.1007/s11655-013-1354-5>
10. Azad Bakht, F., Ahmadi, K., & Omid, H. (2017). Effect of late season drought stress on seed germination indices and photosynthetic pigments of native root genotypes (*Carthamus tinctorius* L.) safflower. *Crop Physiology*, 3, 75-90. (In Persian with English abstract)
11. Barrsu, H. D., & Weatherley, P.E. (1962). Are-examination of the relative turgidity technique for estimating water deficits in leaves. *Australian Journal of Biological Sciences*, 15, 413-4280. <https://doi.org/10.1071/B19620413>
12. Bahadori, F., Bijanzadeh, E., & Behpuri, A. (2019). Investigating delayed cultivation on the re-transfer of cultured materials, yield components and yield of two safflower cultivars in the condition of interruption of irrigation. *Journal of Plant Production Research*, 28(4), 85-104. <https://doi.org/0.22069/JOPP.2021.17472.2612>
13. Berek, A.K., Hue, N., & Ahmad, A. (2011). Beneficial use of biochar to correct soil acidity. *The Food Provider*, 9, 1-3.
14. Blackwell, P., Riethmuller, G., & Collins, M. (2009). Biochar application for soil. P 207-222, In: J. Lehman and S. Joseph (Eds.), *Biochar for Environmental Management, Science and Technology*. Eds Earthscan, London, Sterling, VA.
15. Borislev, M., Borislev, I., Zupunski, M., Arsenov, D., Pajevic, S., Curcic, Z., Vasin, J., & Djordjevic, A. (2016). Drought impact is alleviated in sugar beets (*Beta vulgaris* L.) by foliar application of fullerene nanoparticles. *Plos One*, 10, 1-20. <https://doi.org/10.1371/journal.pone.0166248>
16. Chalker-Scott, L. (2002). Do anthocyanins function as osmoregulators in leaf tissues? *Advances in Botanical Research*, 37, 103-106. [https://doi.org/10.1016/S0065-2296\(02\)37046-0](https://doi.org/10.1016/S0065-2296(02)37046-0)
17. Chang, C.C., Lee, H.L., & Hsu, S.H. (2013). Food security: Global trends and regional perspective with reference to East Asia. *The Pacific Review*, 26, 589-613. <https://doi.org/10.1080/09512748.2013.842315>
18. Chan, K.Y., Van Zwieten, L., Meszaros, I., Downie, A., & Joseph, S. (2008). Using poultry litter biochars as soil amendments. *Soil Research*, 46(5), 437-444. <https://doi.org/10.1071/SR08036>
19. Cornelissen, G., Martinsen, V., Shitumbanuma, V., Alling, V., Breedveld, G.D., Rutherford, D.W., & Mulder, J. (2013). Biochar effect on maize yield and soil characteristics in five conservation farming sites in Zambia. *Agronomy*, 3(2), 256-274. <https://doi.org/10.3390/agronomy3020256>
20. Daneshmand, A.R., Shirani Rad, A.H., & Ardakani, M.R. (2006). Evaluation of water deficit stress on tolerance of spring rapeseed (*Brassica napus* L.) genotypes. *Agronomy Research*, 1, 48-60. (In Persian with English abstract)
21. Das, R.C., Somanagouda, G., & Singh, B. (2017). Effect of Integrated Nutrient Management (INM) practices on growth, yield and oil yield of safflower (*Carthamus tinctorius* L.). *Internatiol Journal of Current Microbiology and Applied Sciences*, 6, 511-516.
22. Ding, Z., Hu, X., Wan, Y., Wang, S., & Gao, B. (2015). Removal of lead, copper, cadmium, zinc and nickel from aqueous solutions by alkali-modified biochar: Batch and column tests. *Journal of Industrial and Engineering Chemistry*, 15, 300-307. <https://doi.org/10.1016/j.jiec.2015.10.007>
23. Flemmer, A.C., Franchini, M.C., & Lindstrom, L.I. (2015). Description of safflower (*Carthamus tinctorius* L.) phenological growth stages according to the extended BBCH scale. *Annals of Applied Biology*, 27, 331-339. <https://doi.org/10.1111/aab.12186>
24. Flexas, J., Bota, J., Gales, J., Medrano, H., & Ribas- Carbo, M. (2008). Keeping a positive carbon balance under adverse conditions responses of photosynthesis and respiration to water stress. *Physiologia Plantarum*, 12, 343-352. <https://doi.org/10.1111/j.1399-3054.2006.00621.x>
25. Gee, G.W., & Or, D. (2002). Particle size analysis. In: *Methods of soil analysis Part 4 physical methods*. Wisc. USA: Madison 255-293.
26. Ghosh, P.K., Ajay, K.K., Bandyopadhyay, M.C., Manna, K.G., Mandal, A.K., & Hati, K.M. (2004). Comparative effectiveness of cattle manure, poultry manure, phosphocompost and fertilizer NPK on three cropping system in

- vertisoils of semi-arid tropics. Dry matter yield, nodulation, chlorophyll content and enzyme activity. *Bioresource Technology*, 95, 85-93. <https://doi.org/10.1016/j.biortech.2004.02.011>
27. Glaser, B., Lehmann, J., & Zech, W. (2002). Ameliorating physical and chemical properties of highly weathered soils in the tropics with charcoal—A review. *Biology and Fertility of Soils*, 35(4), 219-230. <https://doi.org/10.1007/s00374-002-0466-4>
 28. Gunes, A., Cicek, N., Inal, A., Alpaslan, M., Eraslan, F., Guneri, E., & Guzelordu, T. (2006). Genotypic response of chickpea (*Cicer arietinum* L.) cultivars to drought stress implemented at pre-and post-anthesis stages and its relations with nutrient uptake and efficiency. *Plant Soil and Environment*, 52, 868- 876. <https://doi.org/10.17221/3454-PSE>
 29. Hayashi, H., & Hanada, K. (1985). Effects of soil water deficit on seed yield and yield components of safflower. *Japanese Journal of Crop Science*, 54, 346-352. <https://doi.org/10.1626/jcs.54.346>
 30. Helmke, P., Sparks, D., Page, A., Loeppert, R., Soltanpour, P., Tabatabai, M., Johnston, C., & Sumner, M. (1996). Lithium, sodium, potassium, rubidium, and cesium. Methods of soil analysis Part 3 chemical methods 551–574.
 31. Herath, H.M.S.K., Camps-Arbestain, M., & Hedley, M. (2013). Effect of biochar on soil physical properties in two contrasting soils: An Alfisol and an Andisol. *Geoderma*, 209, 188-197. <https://doi.org/10.1016/j.geoderma.2013.06.016>
 32. Hassanpour Lescokelaye, K., Ahmadi, J., Daneshyan, J., & Hatami, S. (2013). Changes in chlorophyll, protein and antioxidant enzymes on durum wheat under drought stress. *Journal of Crop Breeding*, 1, 76-87. (In Persian with English abstract)
 33. Hosseinzadeh, S.R., Amiri, H., & Ismaili, A. (2016). Effect of vermicompost fertilizer on photosynthetic characteristics of chickpea (*Cicer arietinum* L.) under drought stress. *Photosynthetic*, 54, 87-92.
 34. Hussain, M.I., Lyra, D.A., Farooq, M., Nikoloudakis, N., & Khalid, N. (2016). Salt and drought stresses in safflower: A review. *Agronomy for Sustainable Development*, 36(1), 4-18. <http://dx.doi.org/10.1007/s13593-015-0344-8>
 35. Ippolito, J.A., Laird, D.A., & Busscher, W.J. (2012). Environmental benefits of biochar. *Journal of Environmental Quality*, 41(4), 967-972. <https://doi.org/10.2134/jeq2012.0151>
 36. Kafi, M., & Rostami, M. (2007). Yield characteristics and oil content of three safflower. *Iranian Journal of Field Crops Research*. 5(1), 121-132. (In Persian with English abstract). <https://doi.org/10.22067/gsc.v5i1.903>
 37. Lehmann, J., Rillig, M.C., Thies, J., Masiello, C.A., Hockaday, W.C., & Crowley, D. (2011). Biochar effects on soil biota—A review. *Soil Biology and Biochemistry*, 43(9), 1812-1836. <https://doi.org/10.1016/j.soilbio.2011.04.022>
 38. Lin, C.C., & Kao, C.H. (2006). Abscisic acid induced changes in cell wall peroxidase activity and hydrogen peroxide level in roots of rice seedlings. *Plant Science*, 2, 323-329. [https://doi.org/10.1016/S0168-9452\(00\)00396-4](https://doi.org/10.1016/S0168-9452(00)00396-4)
 39. Lindsay, W.L., & Norvell, W.A. (1978). Development of a DTPA soil test for zinc, iron, manganese, and copper. *Soil Science Society of American Journal*, 42, 421-428. <https://doi.org/10.2136/sssaj1978.03615995004200030009x>
 40. Liu, F., Andersen, M.N., & Jensen, C.R. (2004). Root signal controls pod growth in drought stressed soybean during the critical, abortion sensitive phase of pod development. *Fields Crop Research*, 85, 159-166. [https://doi.org/10.1016/S0378-4290\(03\)00164-3](https://doi.org/10.1016/S0378-4290(03)00164-3)
 41. Liu, Z., Chen, X., Jing, Y., Li, Q., Zhang, J., & Huang, Q. (2014). Effects of biochar amendment on rapeseed and sweet potato yields and water stable aggregate in upland red soil. *Catena*, 123, 45-51. <https://doi.org/10.1016/j.catena.2014.07.005>
 42. Manya, J.J. (2012). Pyrolysis for biochar purposes: A review to establish current knowledge gaps and research needs. *Environmental Science and Technology*, 46, 15. 7939-7954. <https://doi.org/10.1021/es301029g>
 43. Melo, C.A., Coscionc, A.R., Aberu, C.A., Puga, A.P., & Camargo, O.A. (2013). Influence of pyrolysis temperature on cadmium and zinc sorption capacity of sugar cane straw derived biochar. *Bioresources*, 8(4), 4992-5004.
 44. Mendez, A., Gomez, A., Paz-Ferreiro, J., & Gasco, G. (2012). Effects of sewage sludge biochar on plant metal availability after application to a Mediterranean soil. *Chemosphere*, 89, 1354-1359. <https://doi.org/10.1016/j.chemosphere.2012.05.092>
 45. Najafi-Ghiri, M., Bijanzadeh E., & Bahadori, F. (2022a). Effect of wheat-derived biochar on soil nutrients

- availability and nutrients uptake by two safflower (*Carthamus tinctorius* L.) cultivars under water stress. *Communications in Soil Science and Plant Analysis*, 53, 1592-1606. <https://doi.org/10.1080/00103624.2022.2060251>
46. Najafi-Ghiri, M., Bijanzadeh, E., & Ghaedi, M. (2022b). Soil potassium relations in an arid soil treated with biochar and chemical fertilizers after cultivation with safflower (*Carthamus tinctorius* L.) under water stress. *Arid Land Research and Management*, 36, 1-20. <https://doi.org/10.1080/15324982.2022.2158960>
 47. Navabpour, S., Ramezanpour, S.S., & Mazandarani, A. (2015). Evaluation of enzymatic and non-enzymatic defense mechanism in response to drought stress during growth stage in soybean. *Technologies Crops Production*, 2(15), 39-52.
 48. Noroozi, M., & Kazemini, S.A.R. (2012). Effect of water stress and plant density on growth and seed yield of safflower. *Iranian Journal Field Crops Research*, 10, 781-788. (In Persian with English abstract)
 49. Olsen S.R., (1954). Estimation of available phosphorus in soils by extraction with sodium bicarbonate. United States Department of Agriculture. Washington.
 50. Peng, J., Han, X., Li, N., Chen, K., Yang, J., Zhan, X., Peyiu, L., & Liu, N. (2021). Combined application of biochar with fertilizer promotes nitrogen uptake in maize by increasing nitrogen retention in soil. *Biochar*, 3, 367-379. <https://doi.org/10.1007/s42773-021-00090-6>
 51. Rahbarian, R., Khavari-Nejad, R., Ganjeali, A., Bagheri, A., Najafi, F., & Roshanfeker, M. (2012). Use of biochemical indices and antioxidant enzymes as a screening technique for drought tolerance in chickpea genotypes (*Cicer arietinum* L.). *African Journal of Agricultural Research*, 7, 5372-5380. <https://doi.org/10.5897/AJAR11.846>
 52. Rajkovich, S., Enders, A., Hanley, K., Hyland, C., Zimmerman, A.R., & Lehmann, J. (2012). Corn growth and nitrogen nutrition after addition of biochars with varying properties to a temperate soil. *Biology and Fertility of Soils*, 48, 271-284. <http://dx.doi.org/10.1007/s00374-011-0624-7>
 53. Rhoades, J.D. (1996). Salinity: Electrical conductivity and total dissolved solids. In: *Methods of soil analysis Part 3 chemical methods*. Wisc. USA: Madison. 417-435.
 54. Sajedi, A., & Sajedi, N.A. (2018). Effect of application biochar and priming and foliar application with water and salicylic acid on physiological traits of dry land safflower. *Iranian Journal of Field Crops Research*, 17, 305-316. (In Persian with English abstract). <https://doi.org/10.22077/escs.2019.1823.1426>
 55. Santosa, C. (2004). Regulation of chlorophyll biosynthesis and degradation by salt stress in sunflower leaves. *Scientia Horticultura*, 10, 93. <https://doi.org/10.1016/j.scienta.2004.04.009>
 56. Shiresmaeili, G., Maghsoudi mood, A.A., Khajoueinezhad, G., & Abdolshahi, R. (2017). Effect of irrigation cut treatment on yield and yield components of ten safflower cultivars in spring and summer crops. *Applied Research in Field Crops*, 30(3), 1-17. (In Persian with English abstract)
 57. Sirous Mehr, A., Bardel, J., & Mohammadi, S. (2014). Changes of germination properties, photosynthetic pigments and antioxidant enzymes activity of safflower as affected by drought and salinity stresses. *Journal of Crop Ecophysiology*, 4, 517-534. (In Persian with English abstract)
 58. Sohi, S. P., Krull, E., Lopez-Capel, E., & Bol, R. (2010). A review of biochar and its use and function in soil. *Advances in Agronomy*, 105, 47-82. [https://doi.org/10.1016/S0065-2113\(10\)05002-9](https://doi.org/10.1016/S0065-2113(10)05002-9)
 59. Sohi, S.P. (2012). Carbon storage with benefits. *Science*, 338(6110), 1034-1035. <https://doi:10.1126/science.1225987>
 60. Song, W., & Guo, M.X. (2012). Quality variations of poultry litter biochar generated at different pyrolysis temperatures. *Journal of Analytical and Applied Pyrolysis*, 94, 138-145. <https://doi.org/10.1016/j.jaap.2011.11.018>
 61. Sun, Y., Gao, B., Yao, Y., Fang, J., Zhang, M., Zhao, Y., Chen, H., & Yang, L. (2014). Effect of feedstock type, production method and pyrolysis temperature on biochar and hydrobiochar properties. *Chemical Engineering Journal*, 240, 574-578. <https://doi.org/10.1016/j.cej.2013.10.081>
 62. Taheri, S., Gholami, A., Abbasdokht, H., & Makarian, H. (2017). Alleviation of water deficit stress effects on safflower (*Carthamus tinctorius* L.) cultivars by seed priming. *Journal of Crops Improvement*, 2, 478-502. (In Persian with English abstract) . <https://doi.org/10.22059/jci.2018.244528.1858>
 63. Van Zwieten, L., Kimber, S., Morris, S., Chan, K.Y., Downie, A., Joseph, S., & Cowie, A. (2010). Effects of biochar from slow pyrolysis of papermill waste on agronomic performance and soil fertility. *Plant and Soil*, 327(1), 235-246. <http://dx.doi.org/10.1007/s11104-009-0050-x>
 64. Yang, X., Liu, J., McGrouther, K., Hung, H., Lu, K., Gao, X., He, L., Lin, X., Che, L., Ye, Z., & Wang, H. (2016).

- Effect of biochar on the extractability of heavy metals (Cd, Cu, Pb and Zn) and enzyme activity in soil. *Environmental Science and Pollution Research*, 22, 3183-3190. <https://doi.org/10.1007/s11356-015-4233-0>
65. Zhou, R., Yu, X., Ottosen, C.O., Rosenqvist, E., Zhao, L., Wang, Y., & Wu, Z. (2017). Drought stress had a predominant effect over heat stress on three tomato cultivars subjected to combined stress. *BMC Plant Biology*, 17, 24-33. <https://doi.org/10.1186/s12870-017-0974-x>